

где  $c_e$  – эквивалентная жесткость линии передач каждого двигателя, определенная для линеаризованной статической характеристики муфты.

На рисунке 5 приведена амплитудно-частотная характеристика линии передач каждого двигателя для случая, когда резинокордные оболочки и гидропневматические аккумуляторы сообщены общим трубопроводом, как показано на рисунке 1.

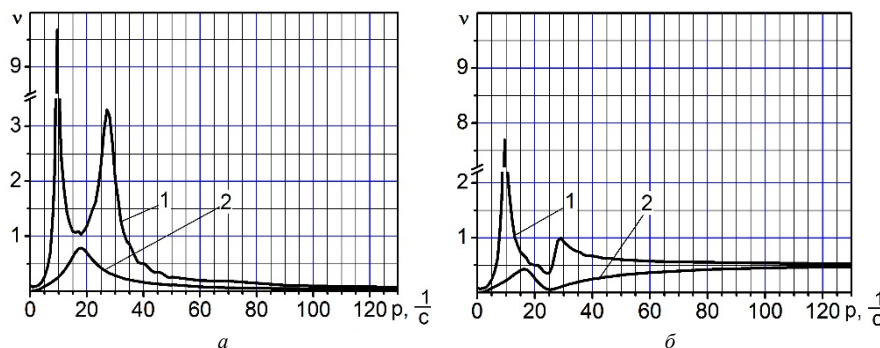


Рисунок 5 – Амплитудно-частотная характеристика:

*a* – для двигателей; *б* – для муфт 1; *v* – динамический коэффициент; *p* – частота возмущения колебаний; 1,2 – коэффициенты затухания колебаний  $\mu=2 \cdot 10^4 \text{Н}\cdot\text{м}\cdot\text{с}$  и  $\mu=8 \cdot 10^5 \text{Н}\cdot\text{м}\cdot\text{с}$  соответственно

Из рисунка 5 следует, что:

– амплитудно-частотные характеристики каждой линии передач одинаковы и при наложении совпадают, что указывает на равномерное распределение динамической нагрузки между ними. В приводах с независимыми муфтами, в зарезонансном режиме, вся динамическая нагрузка воспринимается одной линией передач с амплитудой в два раза большей [5, 8];

– возможность управлять диссилиацией энергии колебаний в муфтах с резинокордными оболочками, позволяет ограничивать максимальные динамические нагрузки до безопасной величины, и равномерно распределять их между линиями передач каждого двигателя.

#### Выводы:

1. Применение гидропневмобаллонных упругих муфт в приводах барабанных мельниц позволяет снизить жесткость механических передач, обеспечить заданную диссилиацию энергии колебаний, что способствует более равномерному распределению статической и снижению динамических нагрузок.

2. Соединение резинокордных оболочек муфт общим трубопроводом, кроме того, позволяет равномерно распределять статическую и динамическую нагрузку, ограничивать динамическую нагрузку в резонансном режиме.

**Список литературы:** 1. А.С.743720 СССР МПК В02С 17/24 Двухдвигательный периферийный привод барабанной мельницы /Б.В. Виноградов, В.И. Зайченко.–№2592504/29-33; заявл. 21.03.78; опубл. 30.06.80. Бюл.№24. 2. А.С.710635 СССР МПК В02С 17/24, F15B 11/25. Двухдвигательный периферийный привод барабанной мельницы /Б.В. Виноградов, В.И. Зайченко.– №2489018/29-33; заявл. 24.05.77; опубл. 25.01.80. Бюл.№3. 3. А.С. 470662 СРСР МПК F15B 11/22. Двухдвигательный привод /Д.К. Крюков, В.И. Зайченко. №1785067/24-6; заявл. 16.05.72; опубл. 15.05.75. Бюл.№18. 4. Пат. №96521 Украина, МПК В02С 17/24. Двудвигуновий синхронний привід барабанного млина [Текст] / Виноградов Б.В., Емельяненко В.И.; Державний вищий навчальний заклад "Український державний хіміко-технологічний університет" – №а201007858; заявл. 23.06.2010; Опубл. 10.11.2011. Бюл.№21. 5. Виноградов Б.В. Статика и динамика двухдвигательных приводов барабанных мельниц / [Текст]: Б.В. Виноградов // Наук. вісн.

НГУ. – 2012. – №2. – С75-80. 6. Виноградов Б.В. Динаміка барабанних млинів [Текст]: монографія / Б.В. Виноградов. – Дніпропетровськ: УДХТУ, 2004. – 127с. 7. Виноградов Б.В. Динамическая модель привода барабанной мельницы в установившемся режиме работы // Б.В. Виноградов // Научн. вестн. НГУ. – №3 – 2010. – С.72-76. 8. Виноградов Б.В. Вынужденные колебания двухдвигательных синхронных приводов барабанных мельниц / Б.В. Виноградов, А.В. Христенко // Наук. вісн. НГУ. – 2012. – №6. – С.72-76. 9. Виноградов Б.В. Гидропневмобаллонная упруговязкая система / Б.В. Виноградов // Вібрації в техн. та технологіях. – 2011. – №1(61). – С.15-19. 10. Годжаев З.А. Исследование характеристик пневматического упругого элемента рукавного типа в зависимости от давления воздуха, хода и формы поршня / З.А. Годжаев, А.А. Поповский, С.В. Гончаренко // Вісник СевНТУ: зб. наук. пр. – Севастополь, 2011. – №120. – С.306-311.

**Bibliography (transliterated):** 1. A.S.743720 SSSR MPK V02S 17/24 Dvuhdvigatel'nyj periferijnyj privod barabannoj mel'nicy / B.V. Vinogradov, V.I. Zajchenko. – №2592504/29-33; zayavl. 21.03.78; opubl. 30.06.80. Byul.No24. 2. A.S.710635 SSSR MPK V02S 17/24, F15V 11/25. Dvuhdvigatel'nyj periferijnyj privod barabannoj mel'nicy / B.V. Vinogradov, V.I. Zajchenko. – №2489018/29-33; zayavl. 24.05.77; opubl. 25.01.80. Byul.No3. 3. A.S. 470662 SRSR MPK F15B 11/22. Dvuhdvigatel'nyj privod / D.K. Kryukov, V.I. Zajchenko. №1785067/24-6; zayavl. 16.05.72; opubl. 15.05.75. Byul.No18. 4. Pat. №96521 Ukraine, MPK V02C 17/24. Dvodvigunoviy sinhronnyj privod barabannogo mlinia [Tekst] / Vinogradov B.V., Emel'yanenko V.I.; Derzhavnyj vishhij navchal'nyj zaklad "Ukrains'kij derzhavnyj himiko-tehnologichni universitet" – No a201007858; zayavl. 23.06.2010; Opubl. 10.11.2011. Byul.No21. 5. Vinogradov B.V. Statika i dinamika dvuhdvigatel'nyh privodov barabannyh mel'nic / [Tekst]: B.V. Vinogradov // Nauk. visn. NGU. – 2012. – №2. – P.75-80. 6. Vinogradov B.V. Dinamika barabannih mliniv [Tekst]: monografija / B.V. Vinogradov. – Dnipropetrovs'k: UDHTU, 2004. – 127p. 7. Vinogradov B.V. Dinamicheskaya model' privoda barabannoj mel'nicy u ustanovivshemsja rezhime raboty // B.V. Vinogradov // Nauchn. vestn. NGU. – №3. – 2010. – P.72-76. 8. Vinogradov B.V. Vyuzhdennye kolebaniya dvuhdvigatel'nyh sinhronnih privodov barabannih mel'nic / B.V. Vinogradov, A.V. Hristenko // Nauk. visn. NGU. – 2012. – №6. – P.72-76. 9. Vinogradov B.V. Gidropnevmoballonnaya uprugoviazkaya sistema / B.V. Vinogradov // Vibracii v tehn. ta tehnologiyah. – 2011. – №1(61). – P.15-19. 10. Godzhaev Z.A. Issledovanie harakteristik pnevmaticheskogo uprugogo elementa rukavnogo tipa v zavisimosti ot davleniya vozduha, hoda i formy porshnya / Z.A. Godzhaev, A.A. Popovskij, S.V. Goncharenko // Visnik SevNTU: zb. nauk. pr. Sevastopol', 2011. – №120. – P.306-311.

Поступила (received) 21.05.2015

УДК 621.833.6

**A.В. ШЕХОВ**, старший преподаватель каф. теоретической механики, машиноведения и роботомеханических систем НАКУ "ХАИ", Харьков

#### УСЛОВИЯ ПРОЧНОСТИ И ОЦЕНКА НЕСУЩЕЙ СПОСОБНОСТИ ОПТИМАЛЬНОЙ ПО МАССЕ КОНСТРУКЦИИ ПРОСТОГО ПЛАНЕТАРНОГО МЕХАНИЗМА ТИПА АІ

Рассмотрена методика оценки несущей способности оптимальной по массе конструкции простого планетарного механизма типа АІ с учетом различных условий прочности. Методика основана на исследовании экстремальных свойств целевых функций аналога массы и коэффициента несущей способности конструкции механизма. Целевые функции задают как функции передаточного отношения механизма и параметров его конструкции. В качестве параметров конструкции механизма принимают число сателлитов, коэффициент приведения массы эпицикла, число зубьев центрального подвижного зубчатого колеса и коэффициент параметров прочности внешнего зубчатого зацепления. Аналог массы конструкции механизма определяют для трех условий прочности внешнего зубчатого зацепления – контактной, изгибной, контактной и изгибной равнопрочности.

**Ключевые слова:** простой планетарный механизм типа АІ, условия прочности, несущая способность, конструкция оптимальная по массе, аналог массы, контактная и изгибная равнопрочность.

**Введение. Актуальность задачи.** Практика проектирования и создания приводов систем управления летательных аппаратов показывает, что требование обеспечения наименьшей массы конструкции привода и требование к его

нагрузочной способности могут быть не совместимы. Иногда такие требования могут быть взаимно противоречивыми. Разрешение такого противоречия быть выполнено двумя различными подходами. При первом подходе критерий минимума массы считается основным, а оценка несущей способности выполняется по найденным параметрам оптимальной по массе конструкции. Для второго подхода условие обеспечение заданной несущей способности учитывается при оптимизации массы конструкции привода. Оба подхода имеют свои плюсы и минусы. Поэтому оценка несущей способности конструкции вышеназванных приводов, имеющих минимальную массу, является актуальной задачей.

**Анализ литературы.** Минимизации массы планетарных механизмов посвящено достаточно много работ, в частности [3-5]. Однако в этих работах не рассматриваются вопросы оценки несущей способности этих механизмов применительно к их оптимальным конструкциям. В работах [6-7] рассмотрены методики оценки несущей способности оптимальной по массе конструкции многоступенчатых планетарных механизмов типа  $n \times AI$ . Эти методики относятся к первому подходу решения вышеназванной проблемы. Оценка несущей способности простого планетарного механизма типа  $AI$  рассмотрена в работе [2]. Но и в этой работе нет исследования этой оценки применительно для конструкции механизма с наименьшей массой.

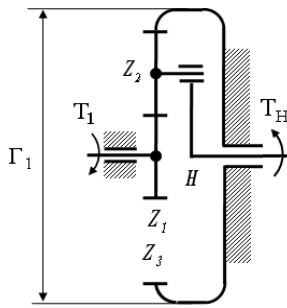


Рисунок 1 – Схема простого планетарного механизма типа  $AI$

**Цель статьи.** Разработка методики оценки несущей способности оптимальной по массе конструкции двухступенчатого планетарного механизма типа  $n \times AI$ .

**Материалы исследований.** На рисунке 1 приведена схема рассматриваемого планетарного механизма типа  $AI$ . Моменты, действующие на входе и выходе механизма, обозначены, как  $T_1$  и  $T_H$  соответственно. Символом  $\Gamma_1$  указан диаметральный габарит механизма. Суммарную массу  $M_{AI}$  простого планетарного механизма типа  $AI$  определим в виде [5]

$$M_{AI} = \frac{\pi \rho_1}{4} \cdot b_1 d_1^2 \cdot \left( 1 + k \cdot \left( \frac{u-2}{2} \right)^2 + n_M \cdot \frac{u^2}{4} \right) = \frac{\pi \rho_1}{4} b_1 d_1^2 \cdot A, \quad (1)$$

где  $\rho_1$ ,  $b_1$ ,  $d_1$  – плотность материала, ширина зубчатого венца и диаметр делительной окружности центрального зубчатого колеса  $z_1$ ;  $k$  – число сателлитов  $z_2$  механизма;  $n_M$  – коэффициент приведения массы корпуса, ведила и неподвижного зубчатого колеса  $z_3$  к массе условного диска, диаметр которого равен удвоенному межцевому расстоянию внешнего зацепления  $z_1-z_2$ , а ширина равна ширине  $b_1$  зубчатого венца центрального подвижного зубчатого колеса  $z_1$ ;  $u = u_{1H}^3 = 1 + z_3/z_1 = 1 + p$  – передаточное отношение механизма;  $A = 1 + k \cdot \left( \frac{u-2}{2} \right)^2 + n_M \cdot \frac{u^2}{4}$  – безразмерный коэффициент.

Формула (1) получена в предположении, что материалы всех зубчатых колес одинаковы и одинаковы их ширины зубчатых венцов. При заданных значениях параметров  $k$ ,  $n_M$  и передаточного отношения  $u$  суммарная масса ме-

ханизма определяется массой условного объема  $0,25\pi b_1 d_1^2$  центрального подвижного зубчатого колеса  $z_1$ .

Условный объем  $0,25\pi b_1 d_1^2$  центрального подвижного зубчатого колеса  $z_1$  может быть найден из различных условий прочности. Введем в рассмотрение коэффициент массы  $C_{ic}$

$$C_{ic} = \frac{\pi \rho_1}{4} \cdot (b_1 d_1^2)_{ic}. \quad (2)$$

В формуле (2) нижний индекс "ic" указывает на обозначение критерия прочности, из которого находят соответствующую величину  $(b_1 d_1^2)_{ic}$ .

С учетом (2) формулу (1) перепишем в безразмерном виде

$$\overline{M}_{ic} = \frac{M_{AI}}{C_{ic}}. \quad (3)$$

Рассмотрим контактную прочность внешнего зацепления простого планетарного механизма  $AI$ .

Для внешнего зацепления  $z_1-z_2$  условие контактной прочности имеет вид [1]

$$(\sigma_H)_{12} = 0,418 \sqrt{\frac{4 \cdot T_1 \cdot (\Omega_H K_{H\beta} K_{Hv} E_{np})_{12}}{b_1 d_1^2 \cdot k \cdot \cos^2(\alpha_t) \cdot \operatorname{tg}(\alpha_{tw12})}} \cdot \frac{u}{u-2} \leq (\sigma_{HP})_{12}, \quad (4)$$

где  $(\sigma_H)_{12}$  – контактное напряжение в полюсе зацепления зубчатых колес  $z_1$  и  $z_2$ ;  $T_1$  – врачающий момент на входе механизма;  $u = u_{1H}^3 = 1 + z_3/z_1 = 1 + p$  – передаточное отношение механизма;  $E_{np} = \frac{2E_1 E_2}{E_1 + E_2}$  – приведенный модуль упругости материалов зубчатых колес  $z_1$  и  $z_2$ ;  $K_{H\beta}$  – коэффициент, учитывающий неравномерность распределения нагрузки по длине контактных линий;  $K_{Hv}$  – коэффициент, учитывающий внутреннюю динамическую нагрузку;  $\alpha_t$  – делительный угол профиля в торцовом сечении;  $\alpha_{tw12}$  – угол внешнего зацепления зубчатых колес  $z_1$  и  $z_2$ ;  $\Omega_H$  – коэффициент неравномерности распределения нагрузки между сателлитами  $z_2$  при расчете на контактную прочность;  $k$  – число сателлитов  $z_2$ ;  $(\sigma_{HP})_{12}$  – допускаемое контактное напряжение для зацепления зубчатых колес  $z_1$  и  $z_2$ .

В формуле (4) размерности величин  $T_1$ ,  $E_{np}$ ,  $b_1$  и  $d_1$  такие, как в работе [1].

Из (4) получим наименьшее значение параметра  $(b_1 d_1^2)_{H \min}$  из расчета на контактную прочность внешнего зацепления механизма

$$(b_1 d_1^2)_{H \min} = \frac{0,7 T_1 (\Omega_H E_{np} K_{H\beta} K_{Hv})_{12}}{k (\sigma_{HP})_{12}^2 \cdot \cos^2(\alpha_t) \cdot \operatorname{tg}(\alpha_{tw12})} \cdot \frac{u}{u-2}. \quad (5)$$

С учетом формулы (5) массу условного объема  $0,25\pi b_1 d_1^2$  центрального подвижного зубчатого колеса  $z_1$  при расчете на контактную прочность запишем в виде

$$\frac{\pi \rho_1}{4} \cdot b_1 d_1^2 = \frac{\pi \rho_1}{4} \cdot \frac{0,7 T_1 (\Omega_H E_{np} K_{H\beta} K_{Hv})_{12}}{k (\sigma_{HP}^2)_{12} \cdot \cos^2(\alpha_t) \cdot \operatorname{tg}(\alpha_{tw12})} \cdot \frac{u}{u-2} = C_H \cdot \frac{u}{k(u-2)}, \quad (6)$$

где  $C_H = \frac{\pi \rho_1}{4} \cdot \frac{0,7 T_1 (\Omega_H E_{np} K_{H\beta} K_{Hv})_{12}}{(\sigma_{HP}^2)_{12} \cdot \cos^2(\alpha_t) \cdot \operatorname{tg}(\alpha_{tw12})}$  – коэффициент массы при расчете на контактную прочность.

Аналог массы  $\bar{M}_H$  простого планетарного механизма типа  $\overline{AI}$  при расчете на контактную прочность внешнего зацепления  $z_1-z_2$  находим по формуле

$$\bar{M}_H = \frac{M_{\overline{AI}}}{C_H} = \frac{A}{k(u-2)} = \frac{1+k \cdot \left(\frac{u-2}{2}\right)^2 + n_M \cdot \frac{u^2}{4}}{k(u-2)}. \quad (7)$$

При заданных значениях параметров  $k$  и  $n_M$  конструкции механизма аналог его массы  $\bar{M}_H$  является функцией передаточного отношения механизма  $u$ , т.е.  $\bar{M}_H = \bar{M}_H(u)$ . На рисунке 2 приведены графики этой функции. Из представленных графиков видно, что функция аналога массы  $\bar{M}_H$  планетарного механизма типа  $\overline{AI}$  при расчете на контактную прочность его внешнего зацепления имеет явный минимум. При этом с увеличением числа сателлитов  $k$  или с уменьшением значения параметра  $n_M$  значение этого минимума уменьшается.

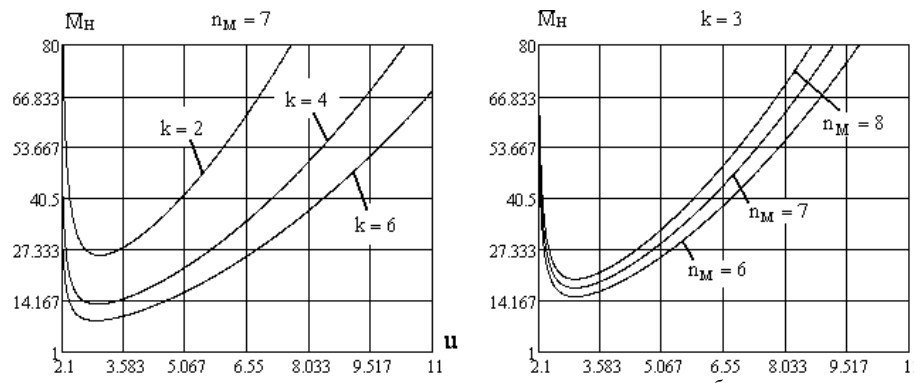


Рисунок 2 – График зависимости функции аналога массы  $\bar{M}_H = \bar{M}_H(u)$  при различных значениях:  $a$  – параметра  $k$ ;  $b$  – параметра  $n_M$

Значение передаточного отношения механизма  $u_{opt H}$ , при котором значение аналога массы  $\bar{M}_H$  будет минимальным, находим из решения следующего уравнения

$$\frac{\partial \bar{M}_H}{\partial u} = 0 \Rightarrow (k + n_M) \cdot u^3 - (5k + 3n_M) \cdot u^2 + 8k \cdot u - 4 \cdot (1+k)k = 0. \quad (8)$$

Уравнение (8) – кубическое уравнение, которое можно решить численным методом или с помощью формулы Кардана. Например, если  $k=3$  и  $n_M=7$ , то

$u_{opt H} = 2,974$ . При значениях  $k=6$  и  $n_M=7$  находим  $u_{opt H} = 2,908$ .

Из формулы (4) находим значение допускаемого момента на входе механизма  $[T_1]_H$

$$[T_1]_H = \frac{(\sigma_{HP}^2)_{12}}{0,418^2 \cdot 4} \cdot \frac{k}{\Omega_H} \cdot \frac{\cos^2(\alpha_t) \cdot \operatorname{tg}(\alpha_{tw12})}{(E_{np} K_{H\beta} K_{Hv})_{12}} \cdot \frac{u-2}{u} \cdot b_1 d_1^2. \quad (9)$$

Полученная формула (9) подобна той, что приведена в [2], если сделать такие замены: величину передаточного отношения  $u$  поменять на параметр  $p=u-1$ ; ввести коэффициент  $[k_0]$  согласно [1].

Значение допускаемого момента нагрузки механизма  $[T_H]_H$  находим из (9)

$$[T_H]_H = [T_1]_H \cdot u = \frac{(\sigma_{HP}^2)_{12}}{0,418^2 \cdot 4} \cdot \frac{k}{\Omega_H} \cdot \frac{\cos^2(\alpha_t) \cdot \operatorname{tg}(\alpha_{tw12})}{(E_{np} K_{H\beta} K_{Hv})_{12}} \cdot (u-2) \cdot b_1 d_1^2. \quad (10)$$

Перепишем формулу (10) следующим образом

$$[T_H]_H = \frac{(\sigma_{HP}^2)_{12}}{0,7} \cdot \frac{k}{\Omega_H} \cdot \frac{\cos^3(\alpha_t) \cdot \operatorname{tg}(\alpha_{tw12})}{(E_{np} K_{H\beta} K_{Hv})_{12} \cdot \cos(\alpha_{tw12})} \cdot \frac{(p-1)}{p^3} \cdot \psi_{bd12} d_3^3, \quad (11)$$

где  $\psi_{bd12} = b_1/d_{w1}$  – коэффициент ширины зубчатого венца относительно диаметра для внешнего зубчатого зацепления механизма.

Представим соотношение (11) так, как это сделано в [2]

$$[T_H]_H = K_{\overline{AI}-H} \cdot \frac{d_3^3}{50\Omega_H} \cdot \frac{(\sigma_{HP}^2)_{12} \cdot \cos^3(\alpha_t) \cdot \operatorname{tg}(\alpha_{tw12})}{0,7 \cdot (E_{np} K_{H\beta} K_{Hv})_{12} \cdot \cos(\alpha_{tw12})}, \quad (12)$$

где  $K_{\overline{AI}-H}$  – коэффициент, характеризующий несущую способность механизма при расчете на контактную прочность его внешнего зацепления,

$$K_{\overline{AI}-H} = \begin{cases} \frac{50k\psi_{bd12}(p-1)}{p^3}, & p \geq 3; \\ \frac{25k\psi_{bd12}(p-1)^2}{p^3}, & p < 3. \end{cases}$$

В формуле (12) учтено замечание, приведенное в [2] относительно величины параметра  $\psi_{bd12}$ .

При заданных значениях  $K_{H\beta}$ ,  $K_{Hv}$ ,  $\alpha_t$ ,  $\alpha_{tw12}$ ,  $E_{np}$ ,  $\sigma_{HP}$  для внешнего зацепления механизма и значении диаметра эпицикла  $d_3$  несущая способность механизма зависит от значения коэффициента  $K_{\overline{AI}-H}$ . На рисунке 3 приведен график зависимости коэффициента  $K_{\overline{AI}-H}$  от величины параметра  $p$ . При этом значение параметра  $\psi_{bd12}$  было принято равным 0,7 [2]. При увеличении значения параметра  $\psi_{bd12}$  свыше 0,7 до 1,4 значение коэффициента  $K_{\overline{AI}-H}$  тоже растет. Однако при этом увеличивается осевой размер механизма.

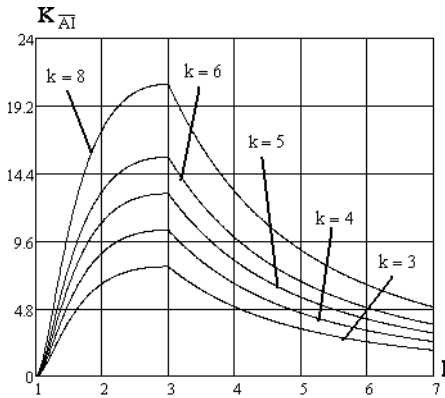


Рисунок 3 – График зависимости коэффициента  $K_{\overline{AI}-H}$  от величины параметра  $p$

механизма типа  $\overline{AI}$ , имеющая наименьшее значение аналога массы при расчете на контактную прочность, на 16% меньше максимально возможной несущей способности этого механизма.

Рассмотрим изгибную прочность внешнего зубчатого зацепления простого планетарного механизма  $AI$ .

Для внешнего зацепления  $z_1-z_2$  условие изгибной прочности имеет вид [1]

$$(\sigma_F)_1 = \frac{2 \cdot T_1 \cdot (\Omega_F K_{FB} K_{FV})_1 \cdot (Y_{FS})_1 \cdot z_1}{b_1 d_1^2 \cdot k} \leq (\sigma_{FP})_1; \quad (13) \quad (\sigma_F)_2 = (\sigma_F)_2 \cdot \frac{(Y_{FS})_2}{(Y_{FS})_1} \leq (\sigma_{FP})_2, \quad (14)$$

где  $(\sigma_F)_i$  – расчетное местное напряжение при изгибе ( $i=1,2$ );  $(Y_{FS})_i$  – коэффициент, учитывающий форму зуба и концентрацию напряжений;  $(\sigma_{FP})_i$  – допускаемые напряжения при изгибе зубьев.

В формуле (13) с нижним индексом "F" указаны параметры, аналогичные тем, что указаны в формуле (4) соответственно с нижним индексом "H". При записи формул (13) и (14) принято, что  $b_1=b_2$ .

Из формулы (13) находим наименьшее значение параметра  $(b_1 d_1^2)_{F \min}$  из расчета на изгибную прочность внешнего зацепления механизма

$$(b_1 d_1^2)_{F \min} = \frac{2 \cdot T_1 \cdot (\Omega_F K_{FB} K_{FV})_1 \cdot (Y_{FS})_1 \cdot z_1}{k \cdot (\sigma_{FP})_1}. \quad (15)$$

С учетом формулы (10) массу условного объема  $0,25\pi b_1 d_1^2$  центрального зубчатого колеса  $z_1$  при расчете на изгибную прочность запишем в виде

$$\frac{\pi \rho_1}{4} \cdot b_1 d_1^2 = \frac{\pi \rho_1}{4} \cdot \frac{2 \cdot T_1 \cdot (\Omega_F K_{FB} K_{FV})_1 \cdot (Y_{FS})_1 \cdot z_1}{k \cdot (\sigma_{FP})_1} = C_F \cdot \frac{z_1}{k}, \quad (16)$$

где  $C_F = \frac{\pi \rho_1}{2} \cdot \frac{T_1 \cdot (\Omega_F K_{FB} K_{FV})_1 \cdot (Y_{FS})_1}{(\sigma_{FP})_1}$  – коэффициент массы при расчете на изгибную прочность.

Анализ графиков, приведенных на рисунках 2 и 3, показывает, что значение передаточного отношения механизма  $u_{\max}$ , при котором его несущая способность будет наибольшей, больше значения передаточного отношения  $u_{opt H}$ , когда его масса будет наименьшей. Например, если  $k=3$ ,  $n_M=7$  и  $\psi_{bd12}=0,7$ , то  $u_{opt H}=2,974$  ( $p=1,974$ ), а  $u_{\max}=4$  ( $p=3$ ). При этом  $\overline{M}_H(u=u_{opt H})=17,496$ ,  $\overline{M}_H(u=u_{\max})=21,333$ ,  $K_{\overline{AI}}(u=u_{opt H})=6,645$  и  $K_{\overline{AI}}(u=u_{\max})=7,778$ . Таким образом, несущая способность конструкции простого планетарного

аналога массы  $\overline{M}_F$  простого планетарного механизма типа  $\overline{AI}$  при расчете на изгибную прочность внешнего зацепления  $z_1-z_2$  находим по формуле

$$\overline{M}_F = \frac{M_{\overline{AI}}}{C_F} = \frac{z_1 A}{k} = \frac{z_1 \cdot \left(1 + k \cdot \left(\frac{u-2}{2}\right)^2 + n_M \cdot \frac{u^2}{4}\right)}{k}. \quad (17)$$

При заданных значениях параметров  $z_1$ ,  $k$  и  $n_M$  конструкции механизма аналог его массы  $\overline{M}_F$  является функцией передаточного отношения механизма  $u$ , т.е.  $\overline{M}_F = \overline{M}_F(u)$ . На рисунке 4 приведены графики этой функции. Из представленных графиков видно, что функция аналога массы  $\overline{M}_F$  планетарного механизма типа  $\overline{AI}$  при расчете на изгибную прочность его внешнего зацепления имеет явный минимум. Оптимальное значение передаточного отношения  $u_{opt F}$ , при котором целевая функция  $\overline{M}_F(u)$  принимает минимальное значение, находим из решения следующего уравнения

$$\frac{\partial \overline{M}_F}{\partial u} = 0 \Rightarrow \frac{z_1 \cdot (ku - 2k + n_M u)}{2k} = 0 \Rightarrow u_{opt F} = \frac{2k}{k + n_M}. \quad (18)$$

Из формулы (18) следует, что для принятых диапазонов изменения параметров  $k$  ( $k \in [2, 8]$ ) и  $n_M$  ( $n_M \in [0,6, 0,8]$ ), значение передаточного отношения  $u_{opt F}$  будет в диапазоне  $[0,4, 1,143]$ . Следовательно, такие значения передаточного отношения  $u_{opt F}$  не попадают в область возможных значений передаточного отношения простого планетарного механизма типа  $\overline{AI}$  [2]. Поэтому решение о значении передаточного отношения  $u_{opt F}$  приходится принимать исключительно из конструктивных соображений.

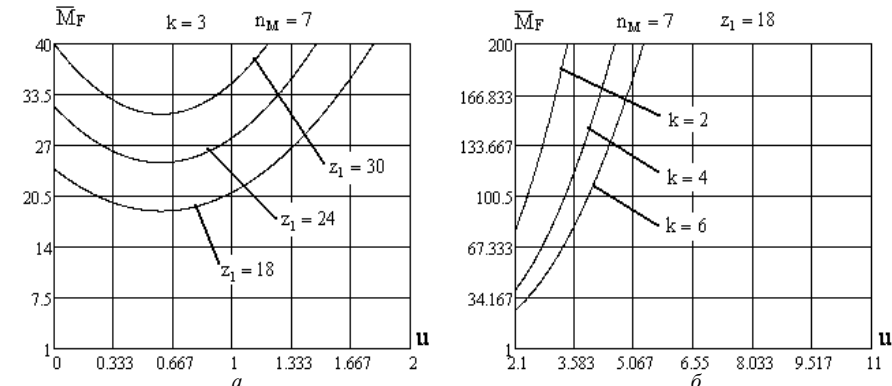


Рисунок 4 – График зависимости функции аналога массы  $\overline{M}_F = \overline{M}_F(u)$  при различных значениях:  $a$  – параметра  $k$ ;  $\delta$  – параметра  $z_1$

Из графиков, приведенных на рисунке 4 видно, что с увеличением числа сателлитов  $k$  или с уменьшением значения параметра  $n_M$  или с уменьшением

числа зубьев центрального подвижного зубчатого колеса  $z_1$  значение аналога массы  $M_F$  механизма уменьшается.

Выполним оценку несущей способности простого планетарного механизма типа  $AI$  при расчете на изгибную прочность подобно тому, как это было сделано ранее. Из (13) находим значение допускаемого момента на входе механизма  $[T_1]_F$

$$[T_1]_F = \frac{k}{2\Omega_F} \cdot \left( \frac{\sigma_{FP}}{Y_{FS}} \right)_1 \cdot \frac{b_1 d_1^2}{z_1 \cdot (K_{F\beta} K_{Fv})_1}. \quad (19)$$

Величину допускаемого момента нагрузки механизма  $[T_H]_F$  получим из формулы (19)

$$[T_H]_F = [T_1]_F \cdot u = [T_1]_F \cdot (p+1) = \frac{k}{2\Omega_F} \cdot \left( \frac{\sigma_{FP}}{Y_{FS}} \right)_1 \cdot \frac{b_1 d_1^2}{z_1 \cdot (K_{F\beta} K_{Fv})_1} \cdot (p+1). \quad (20)$$

Выполним преобразование формулы (20), подобно тому, как это было сделано при выводе формулы (11)

$$[T_H]_F = \frac{k}{2\Omega_F} \cdot \left( \frac{\sigma_{FP}}{Y_{FS}} \right)_1 \cdot \frac{\psi_{bd} d_1^3 \cdot \cos(\alpha_t)}{z_1 \cdot (K_{F\beta} K_{Fv})_1 \cdot \cos(\alpha_{tw12})} \cdot (p+1). \quad (21)$$

С учетом соотношения  $d_1 = d_3/p$  получим

$$[T_H]_F = \frac{k \cdot \psi_{bd} \cdot (p+1)}{p^3} \frac{d_3^3}{2 \cdot \Omega_F \cdot z_1} \cdot \left( \frac{\sigma_{FP}}{Y_{FS}} \right)_1 \cdot \frac{\cos(\alpha_t)}{(K_{F\beta} K_{Fv})_1 \cdot \cos(\alpha_{tw12})}. \quad (22)$$

Формулу (22) представим в виде

$$[T_H]_F = K_{AI\_F} \cdot \frac{d_3^3}{100 \cdot \Omega_F \cdot z_1} \cdot \left( \frac{\sigma_{FP}}{Y_{FS}} \right)_1 \cdot \frac{\cos(\alpha_t)}{(K_{F\beta} K_{Fv})_1 \cdot \cos(\alpha_{tw12})}, \quad (23)$$

где  $K_{AI\_F}$  – коэффициент, характеризующий несущую способность механизма при расчете на изгибную прочность его внешнего зацепления,

$$K_{AI\_F} = \begin{cases} \frac{50 \cdot k \cdot \psi_{bd} \cdot (p+1)}{p^3}, & p \geq 3; \\ \frac{25 \cdot k \cdot \psi_{bd} \cdot (p+1)(p-1)}{p^3}, & p < 3. \end{cases}$$

Заметим, что при записи формулы (23) учтено замечание относительно параметра  $\psi_{bd}$ , сделанное при выводе формулы (12).

При заданных значениях  $K_{F\beta}$ ,  $K_{Fv}$ ,  $\alpha_t$ ,  $\alpha_{tw12}$ ,  $Y_{FS}$  и  $\sigma_{FP}$  для внешнего зацепления механизма и значении диаметра эпицикла  $d_3$  несущая способность механизма зависит от значения коэффициента  $K_{AI\_F}$ . На рисунке 5 приведен график зависимости коэффициента  $K_{AI\_F}$  от величины параметра  $p$ . При этом значение параметра  $n_M = 7$ , а значение параметра  $n_M$  было принято равным 0,7 [2]. При увеличении значения параметра  $\psi_{bd}$  свыше 0,7 до 1,4 значение

коэффициента  $K_{AI\_F}$  тоже растет.

Особенность графиков, приведенных на рисунке 5 в том, что они имеют максимум при одном и том же значении  $p$ . Это значение параметра  $p$  равно  $\sqrt{3} = 1,732$ , что соответствует передаточному отношению механизма  $u_{max F} = 2,732$ . Данное значение превышает величину  $u_{opt F}$ . С учетом этого можно принять в качестве передаточного отношения  $u_{opt F} = u_{max F}$ . Например, если  $k=3$ ,  $n_M = 0,7$ ,  $z_1 = 18$  и  $\psi_{bd} = 0,7$ , то получим  $M_F = 86,781$  и  $K_{AI\_F} = 20,207$ .

Рассмотрим случай контактной и изгибной равнопрочности внешнего зацепления  $z_1-z_2$  простого планетарного механизма типа  $AI$ .

Учитываем, что  $b_1 = \psi_{bd} \cdot d_1 \cdot \frac{\cos(\alpha_t)}{\cos(\alpha_{wt})}$  и  $d_1 = m \cdot z_1$ . Подставив эти соотношения в (5) и (15) и приняв условие равенства значений модулей при расчете на контактную и изгибную прочности, получим

$$\frac{0,7 \cdot \Omega_H \cdot E_{hp} \cdot K_{H\beta} \cdot K_{Hv}}{\sigma_{HP}^2 \cdot \cos^2(\alpha_t) \cdot \operatorname{tg}(\alpha_{tw})} \cdot \frac{u}{u-2} = \frac{2 \cdot \Omega_F \cdot K_{F\beta} \cdot K_{Fv} \cdot Y_{FS} \cdot z_1}{\sigma_{FP}}. \quad (24)$$

В формуле (24) отсутствуют нижние индексы "12" и "1" так, как все величины в этой формуле относятся к внешнему зацеплению  $z_1-z_2$  механизму.

С учетом формул (6) и (16) соотношение (24) примет вид

$$C_H \cdot \frac{u}{u-2} = C_F \cdot z_1. \quad (25)$$

Выражение (25) есть условие выполнения контактной и изгибной равнопрочности внешнего зацепления  $z_1-z_2$  механизма применительно к аналогам массы  $M_H$  и  $M_F$  механизма.

Подобно (7) и (17) введем аналог массы простого планетарного механизма типа  $AI$  при расчете на контактную и изгибную равнопрочность внешнего зацепления  $z_1-z_2$ . Однако этот аналог может быть задан двумя способами. Для обозначения этого аналога задаем два символа. Первый символ будет указывать на аналог контактной или изгибной прочности, а второй символ – на оставшийся аналог. Таким образом, получим

$$\overline{M}_{HF} = \frac{M_{AI}}{C_H^*} = \frac{u^* \cdot A}{k \cdot (u^* - 2)}; \quad \overline{M}_{FH} = \frac{M_{AI}}{C_F^*} = \frac{z_1^* \cdot A}{k}; \quad M_{AI} = \overline{M}_{HF} \cdot C_H^* = \overline{M}_{FH} \cdot C_F^*. \quad (26)$$

В формулах (26) верхним символом "\*" обозначены величины, которые

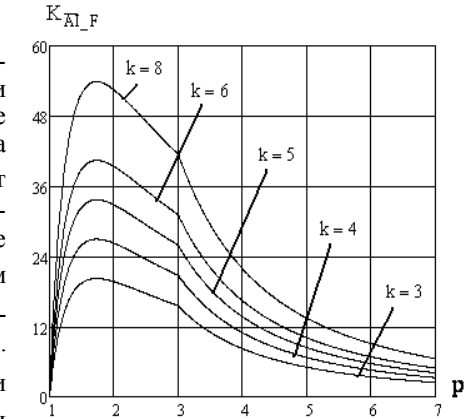


Рисунок 5 – График зависимости коэффициента  $K_{AI\_F}$  от величины параметра  $p$

удовлетворяют условию (25).

Задав величины  $C_H^*$  и  $C_F^*$  из (25), получим следующую зависимость

$$u^* = u^*(z_1^*) = 1 + \frac{C_H^* C_F^* + z_1^*}{C_H^* C_F^* - z_1^*} = 1 + \frac{C_{HF} + z_1^*}{C_{HF} - z_1^*}, \quad (27)$$

где  $C_{HF} = C_H^*/C_F^*$  – коэффициент.

На рисунке 6 показан график зависимости передаточного отношения  $u^* = u^*(z_1^*, C_{HF})$  от величины числа зубьев  $z_1^*$  при заданном значении коэффициента  $C_{HF}$ . Коэффициент  $C_{HF}$  находим по формуле

$$C_{HF} = 0,7 \cdot \frac{\Omega_H \cdot E_{np} \cdot K_{H\beta} \cdot K_{Hv}}{\sigma_{HP}^2 \cdot \cos^2(\alpha_t) \cdot \operatorname{tg}(\alpha_{tw})} \cdot \frac{\sigma_{FP}}{\Omega_F \cdot K_{F\beta} \cdot K_{Fv} \cdot Y_{FS}}. \quad (28)$$

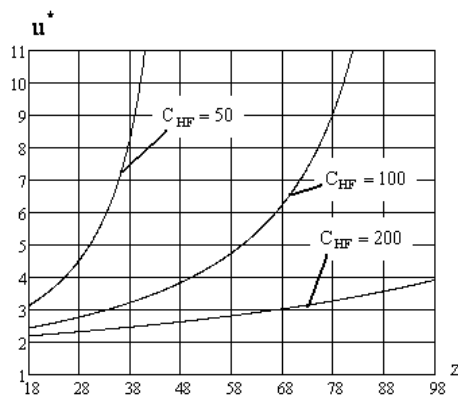


Рисунок 6 – График зависимости  $u^* = u^*(z_1^*, C_{HF})$

Выполним оценку значения коэффициента  $C_{HF}$ , если принимаем следующие условия:  $K_{H\beta} = K_{F\beta}$ ,  $K_{Hv} = K_{Fv}$ ,  $\Omega_H = \Omega_F$ ,  $\alpha_t = \alpha_{tw} = 20^\circ$ ,  $Y_{FS} = 4$ ,  $E_{np} = 21 \cdot 10^5$  МПа,  $\sigma_{FP} = 250$  МПа и  $\sigma_{HP} = 500$  МПа. Тогда получим  $C_{HF} = 114,346$ . Из (28) следует, чем больше отношение  $(E_{np}\sigma_{FP})/(\sigma_{HP}^2)$ , тем меньше будет значение коэффициента  $C_{HF}$ .

Анализ зависимости  $u^* = u^*(z_1^*, C_{HF})$  показывает, чем меньше будет значение коэффициента  $C_{HF}$  или чем больше будет отношение  $(E_{np}\sigma_{FP})/(\sigma_{HP}^2)$ , тем больше будет передаточное отношение  $u^*$ , и значение числа зубьев  $z_1^*$  будет ближе к минимальному числу, равному 18.

На рисунке 7 показаны графики зависимостей аналогов масс  $\bar{M}_{HF}$  и  $\bar{M}_{FH}$  соответственно от величины числа зубьев  $z_1^*$  для случая контактной и изгибной равнопрочности внешнего зацепления  $z_1-z_2$  простого планетарного механизма типа  $\bar{A}I$ . Вид этих зависимостей такой же, как и на рисунках 2 и 4. Поэтому для нахождения минимума этих зависимостей все справедливо то, что было показано для зависимостей  $\bar{M}_H(u)$  и  $\bar{M}_F(u)$  соответственно. Например, для данных, которые были приняты при определении оценки величины коэффициента  $C_{HF}$ , и параметрах  $k=3$  и  $n_M=0,7$ , получим значения  $z_{loptHF}^* \approx 35$ ,  $u_{optHF}^* = 2,898$  и  $\bar{M}_{HF} = 3,207$ . Но при данных значениях  $k$  и  $z_{loptHF}^*$  получим значение  $z_2 < 18$ . Поэтому примем  $z_{loptHF}^* = 38$ , тогда имеем  $z_2 = 19$ ,  $z_3 = 76$ ,  $u_{optHF}^* = 3$  и

$$\bar{M}_{HF} = 3,325.$$

На рисунке 7,б приведена зависимость отношения  $\bar{M}_{FH}/\bar{M}_{HF} = C_H^*/C_F^* = z_1^*(u^* - 2)/u^*$ . Для данных, приведенных выше, имеем  $\bar{M}_{FH}/\bar{M}_{HF} = 12,628$ , откуда находим  $\bar{M}_{HF} \approx 42$ .

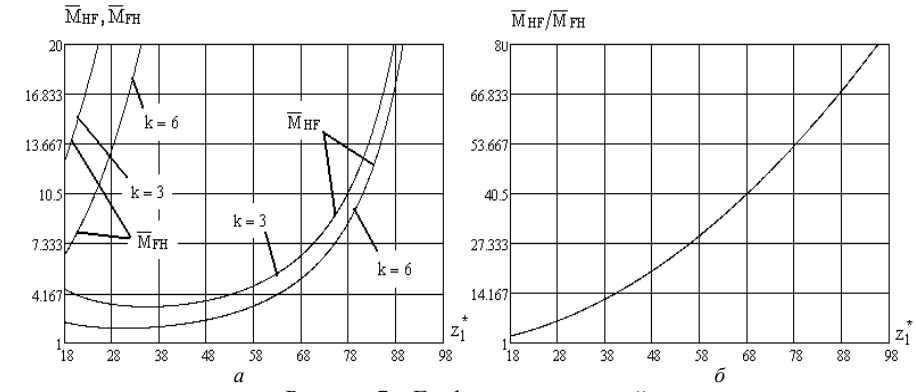


Рисунок 7 – Графики зависимостей:  
а –  $\bar{M}_{HF} = \bar{M}_{HF}(z_1^*)$ ; б –  $\bar{M}_{FH} = \bar{M}_{FH}(z_1^*)$

Для оценки несущей способности конструкции простого планетарного механизма типа  $\bar{A}I$  при расчете на контактную и изгибную равнопрочность его внешнего зацепления введем следующие величины допускаемого момента на выходе механизма:  $[T_H]_{HF}$ ,  $[T_H]_{FH}$ . Эти величины задаем в виде

$$[T_H]_{HF} = K_{\bar{A}I-H} \cdot \frac{d_3^3}{50} \cdot \frac{\sigma_{HP}^2 \cdot \cos^3(\alpha_t) \cdot \operatorname{tg}(\alpha_{tw})}{0,7 \cdot \Omega_H \cdot E_{np} \cdot K_{H\beta} \cdot K_{Hv} \cdot \cos(\alpha_{tw})}; \quad (29)$$

$$[T_H]_{FH} = K_{\bar{A}I-F} \cdot \frac{d_3^3}{50} \cdot \frac{\sigma_{FP} \cdot \cos(\alpha_t)}{2 \cdot \Omega_F \cdot K_{F\beta} \cdot K_{Fv} \cdot Y_{FS} \cdot z_1 \cdot \cos(\alpha_{tw})}. \quad (30)$$

Очевидно выполнение следующих соотношений

$$[T_H]_{HF} = [T_H]_{FH}; K_{\bar{A}I-H} = K_{\bar{A}I-F} \frac{u^* - 2}{u^*}. \quad (31)$$

Заметим, что для введенных допускаемых моментов с двумя нижними символами справедливо правило, которое было принято выше применительно для аналогов масс.

На рисунке 8,а приведены графики зависимостей коэффициентов  $K_{\bar{A}I-H} = K_{\bar{A}I-H}(z_1^*)$  и  $K_{\bar{A}I-F} = K_{\bar{A}I-F}(z_1^*)$  соответственно, которые характеризуют нагружочную способность конструкции простого планетарного механизма типа  $\bar{A}I$  при расчете его внешнего зацепления на контактную и изгибную равнопрочность. Зависимость отношения этих коэффициентов показана на рисунке 8,б. Графики, приведенные на рисунке 8, построены для данных, которые были приведены в примере оценки величины  $C_{HF}$ , а также данных из

примера по определению значения  $u_{optHF}^*$ .

Вид зависимостей  $K_{\overline{AI}_H}(z_1^*)$  и  $K_{\overline{AI}_F}(z_1^*)$ , показанных на рисунке 8, такой же как, и вид зависимостей  $K_{\overline{AI}_H}(p)$  и  $K_{\overline{AI}_F}(p)$  соответственно, которые показаны на рисунках 3 и 5. Поэтому с учетом значений параметра  $p$ , при которых функции  $K_{\overline{AI}_H}(p)$  и  $K_{\overline{AI}_F}(p)$  имеют максимум, получим

$$z_{1\max H}^* = \frac{C_{HF}}{2}; \quad z_{1\max F}^* = C_{HF} \cdot \frac{\sqrt{3}-1}{\sqrt{3}+1}. \quad (32)$$

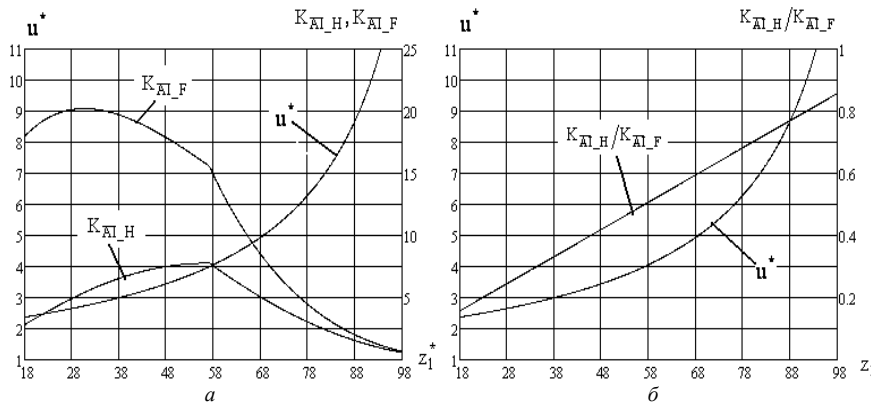


Рисунок 8 – Графики зависимостей:  
 $a - K_{\overline{AI}_H} = K_{\overline{AI}_H}(z_1^*); \quad b - K_{\overline{AI}_F} = K_{\overline{AI}_F}(z_1^*)$

Применительно для зависимостей, приведенных на рисунке 8, по формуле (32) находим  $z_{1\max H}^* \approx 57$  и  $z_{1\max F}^* \approx 31$ . При этом значения коэффициентов, определяющих способность механизма, составили  $K_{\overline{AI}_H}(z_{1\max H}^*) = 7,778$  и  $K_{\overline{AI}_F}(z_{1\max F}^*) = 20,207$ . Если вернуться, к примеру по определению значения  $u_{optHF}^* = 3$ , то получим  $K_{\overline{AI}_H}(z_1^* = 38) = 6,548$  и  $K_{\overline{AI}_F}(z_1^* = 38) = 19,702$ . Полученные значения меньше максимальных не более, чем на 15%.

В заключение сделаем ряд замечаний. В работе рассмотрены условия прочности применительно к внешнему зацеплению  $z_1-z_2$  простого планетарного механизма типа АІ и ничего не было сказано о внутреннем зацеплении  $z_2-z_3$  механизма. Связано это с тем, что внутреннее зацепление данного механизма прочнее внешнего [2]. Поэтому его прочность не лимитирует прочность всего механизма. Зубчатые колеса внешнего и внутреннего зацеплений данного механизма имеют один и тот же модуль. Поэтому можно говорить о контактной равнопрочности или об изгибной равнопрочности зацеплений механизма. Все приведенные графики в виде непрерывных кривых следует рассматривать как данные, характеризующие свойства тех или иных зависимостей, приведенных в работе. Все эти зависимости на самом деле являются дискрет-

ными функциями и, следовательно, вместо непрерывной кривой надо приводить дискретное множество точек. Следует учитывать связь величин  $k$ ,  $p$  и  $z_1$ , которые, так или иначе, учитываются в приведенных в работе зависимостях.

#### Выводы:

1. Разработана методика оценки несущей способности конструкции простого планетарного механизма типа АІ, конструкция которого удовлетворяет критерию минимума массы.

2. Приведены графики зависимостей аналогов масс и соответствующих коэффициентов, определяющих несущую способность конструкции механизма. Эти графики позволяют быстро оценить потребные значения параметров конструкции механизма, как его передаточное отношение, так и число зубьев центрального подвижного зубчатого колеса.

3. Сопоставление графиков, относящихся к аналогам масс, с одной стороны, и графиков, характеризующих несущую способность, с другой стороны, позволяет конструктору выбрать желаемый диапазон возможных значений передаточного отношения механизма, для которого условия минимума массы и максимума нагрузочной способности механизма будут реализованы с требуемой точностью.

4. Разработанная методика может быть применима и к другим конструкциям простых планетарных механизмов.

**Список литературы:** 1. Упрощенные расчеты зубчатых передач / В.Н. Кудрявцев – Л.: Машиностроение, 1967. – 110с. 2. Планетарные передачи. Изд. 2-е / В.Н. Кудрявцев – Л.: Машиностроение, 1966. – 308с. 3. Проектирование планетарных механизмов, оптимальных по динамическим характеристикам: Учеб. пособие по курсов. и дипл. проектированию / В.А. Ткаченко, В.Т. Абрамов, М.Д. Коровкин. – Харьков: Харьк. авиац. ин-т, 1983. – 110с. 4. Планетарные механизмы (оптимальное проектирование) / В.А. Ткаченко. – Харьков: Нац. аэрокосм. ун-т "Харьк. авиац. ин-т", 2003. – 446с. 5. Абрамов В.Т., Гетя A.H., Матусевич В.А., Шехов А.В. Методика оптимизации многоступенчатого планетарного механизма по критерию массы // Вісник Національного технічного університету "ХПІ". – 2009. – Вип.29. – С.45-52. 6. Матусевич В.А., Шарафан Ю.В., Шехов А.В., Абрамов В.Т. Несущая способность оптимальной по массе конструкции многоступенчатого планетарного механизма типа  $n \times \overline{AI}$  при контактной прочности // Вісник Національного технічного університету "ХПІ". – 2012. – Вип.35. – С.93-102. 7. Матусевич В.А., Шарафан Ю.В., Шехов А.В., Абрамов В.Т. Равнопрочность зубчатых зацеплений в задаче оптимизации многоступенчатого планетарного механизма  $\overline{AI}$  по критерию массы // Вісник Національного технічного університету "ХПІ". – 2010. – Вип.26. – С. 77-85.

**Bibliography (transliterated):** 1. Kudrjavcev V.N. Uproshennye raschety zubchatykh peredach / V.N. Kudrjavcev – Leningrad: Mashinostroenie, 1967. – 110p. 2. Kudrjavcev V.N. Planetarnye peredachi. Izd. 2-e / V.N. Kudrjavcev – Leningrad: Mashinostroenie, 1966. – 308p. 3. Tkachenko V.A. Proektirovaniye planetarnykh mehanizmov, optimal'nykh po dinamicheskim harakteristikam: Ucheb. posobie po kursov. i dipl. proektirovaniyu/ V.A. Tkachenko, V.T. Abramov, M.D. Korovkin. – Kharkov: Khark. aviac. in-t, 1983. – 110p. 4. Tkachenko V.A. Planetarnye mehanizmy (optimal'noe proektirovaniye) / V.A. Tkachenko – Kharkov: Nac. ajerokosm. un-t "Khark. aviac. in-t", 2003. – 446p. 5. Abramov V.T., Getya A.N., Matusevich V.A., Shehov A.V. Metodika optimizatsii mnogostupenchatogo planetarnogo mehanizma po kriteriyu massy / Visnyk Natsional'nogo tehnichnogo universytetu "KhPI". – 2009. – No.29. – P.45-52. 6. Matusevich V.A., Sharaban Yu.V., Shehov A.V., Abramov V.T. Neushashaja sposobnost' optimal'noj po masse konstrukcii mnogostupenchatogo planetarnogo mehanizma tipa  $n \times \overline{AI}$  pri kontaktnoj prochnosti // Visnyk Natsional'nogo tehnichnogo universytetu "KhPI". – 2012. – No35. – P.93-102. 7. Matusevich V.A., Sharaban Yu.V., Shehov A.V., Abramov V.T. Ravnopruchnost' zubchatykh zaceplenij v zadache optimizacii mnogostupenchatogo planetarnogo mehanizma  $\overline{AI}$  po kriteriyu massy // Visnyk Natsional'nogo tehnichnogo universytetu "KhPI". – 2010. – No26. – P.77-85.

Поступила (received) 19.05.2015